

·研究简报·

DOI: 10.16801/j.issn.1008-7303.2017.0016

# 含 1, 3, 4-噻二唑的吡啶联吡唑乙酰胺类化合物的合成及除草活性

胡燕红, 何海琴, 刘幸海, 翁建全, 谭成侠\*

(浙江工业大学 化学工程学院, 杭州 310014)

**摘要:** 以乙酰丙酮、溴乙酸乙酯和 2,6-二氯吡啶为起始原料, 经取代、肼基化、环合、水解、酸化及缩合等反应, 得到 9 个未见文献报道的吡啶联吡唑乙酰基类化合物 **B1~B9**。其结构均经核磁共振氢谱和质谱表征。初步生物活性测定表明: 在 150 g/hm<sup>2</sup> 的处理剂量下, 大部分目标化合物表现出一定的除草活性, 其中化合物 **B2**、**B3**、**B6** 和 **B8** 对苘麻 *Abutilon theophrasti Medicus*、反枝苋 *Amaranthus retroflexus* 和凹头苋 *Amaranthus lividus L.* 生长的抑制率接近 100%。

**关键词:** 1, 3, 4-噻二唑; 吡啶联吡唑; 乙酰胺类衍生物; 合成; 除草活性

中图分类号: O626.2; S482.4 文献标志码: A 文章编号: 1008-7303(2017)01-0114-05

## Synthesis and herbicidal activity of substituted 2-(1-(3-chloropyridin-2-yl)-3,5-dimethyl-1H-pyrazol-4-yl) acetic acid derivatives containing 1, 3, 4-thiadiazole

HU Yanhong, HE Haiqing, LIU Xinghai, WENG Jianquan, TAN Chengxia\*

(College of Chemical Engineering, Zhejiang University of Technology, Hangzhou 310014, China)

**Abstract:** Nine novel 2-(1-(3-chloro pyridin-2-yl)-3,5-dimethyl-1H-pyrazol-4-yl) acetic acid derivatives **B1-B9** were synthesized from acetylacetone, ethyl bromoacetate and 2,6-dichloropyridine. The synthesis route included a series of reactions such as substitution, alkylation, cyclization, hydrolysis, and acidification condensation. The chemical structures were characterized by <sup>1</sup>H NMR and MS. Preliminary bioassay showed that most of the above compounds displayed herbicidal activities at the concentration of 150 g/hm<sup>2</sup>. The inhibition rates of **B2**, **B3**, **B6** and **B8** against *Abutilon theophrasti Medicus*, *Amaranthus retroflexus* and *Amaranthus lividus L.* were nearly 100%.

**Keywords:** 1, 3, 4-thiadiazole; pyridyl substituted pyrazole; acetamide derivatives; synthesis; herbicidal activity

含氮杂环化合物有着独特的生物活性, 且毒性低, 内吸性高, 常被用作医药和农药的结构组成单元, 在医药和农药合成方面起着重要的作用<sup>[1-3]</sup>。

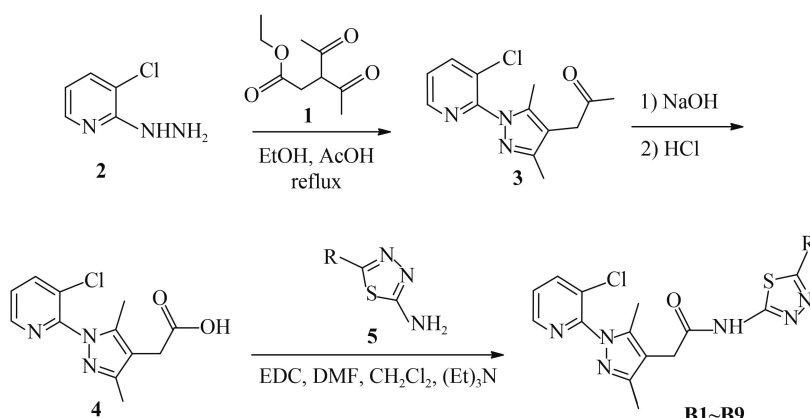
研究发现, 一些含有吡啶联吡唑结构单元的羧酸衍生物具有一定的生物活性<sup>[4-6]</sup>。本研究采用活性亚结构拼接法, 将吡啶联吡唑乙酰基结构单元与

收稿日期: 2016-08-19; 录用日期: 2016-12-07。

作者简介: 胡燕红, 女, 硕士研究生, E-mail: 66878391@qq.com; \*谭成侠, 通信作者 (Author for correspondence), 男, 博士, 研究员, 主要从事新农药研究与开发工作, E-mail: tanchengxia@zjut.edu.cn

5-取代-1,3,4-噻二唑-2-胺进行拼接, 设计并合成了 9 个未见文献报道的含有噻二唑环的吡唑乙酰胺类

化合物, 对其结构进行了表征, 并初步测定了其除草活性。目标化合物的合成路线见图式 1。



图式 1 含 1, 3, 4-噻二唑的吡啶联吡唑乙酰胺类化合物的合成路线

Scheme 1 Synthetic route of pyridine linked pyrazole acetyl derivatives containing 1, 3, 4-thiadiazole moiety

## 1 实验部分

### 1.1 仪器与试剂

Bruker AVANCE III 500-MHz 核磁共振仪(以 TMS 为内标); DECA-X-60000 LCQ Deca XP 质谱仪(美国 Thermo 公司); GC2014 气相色谱仪(岛津, 杭州库伦科技有限公司); WRS-1B 数字熔点仪(杭州科晓化工仪器设备有限公司, 温度计未校正); IR-960 傅立叶变换红外光谱仪(天津瑞岸科技有限公司); MP200B 型电子天平(上海永亭光学仪器制造有限公司)。

溴乙酸乙酯(98%, 上海阿拉丁生化科技股份有限公司); 氨基硫脲(工业级, 济南睿兴医药科技有限公司); 水合肼(85%, 国药集团化学试剂有限公司); 其余试剂均为市售分析纯。

### 1.2 化合物的合成

1.2.1 3, 3-二乙酰基丙酸乙酯(1) 的合成 参考文献[7]方法以 1, 3-戊二酮为原料合成, 得到黄色油状液体约 4.96 g, 收率 89%。沸点 164.5~166.1 °C (文献值<sup>[8]</sup> 165~166 °C)。

1.2.2 3-氯-2-肼基吡啶(2) 的合成 参考文献[8]方法由 2,3-二氯吡啶与水合肼反应制备, 得到白色针状晶体 5.8 g, 收率 81%。熔点 168~170 °C (文献值<sup>[8]</sup> 171~173 °C)。

1.2.3 3-氯-1-(2-吡啶基)-吡唑-4-基乙酸乙酯(3) 的合成 参照文献[9]方法制备。在 50 mL 三口瓶中, 加入 9.3 g (0.05 mol) 化合物 1、7.15 g (0.05 mol) 化合物 2 和 50 mL 乙醇, 待固体溶解后加入 0.3 g 乙酸作催化剂, 回流反应 3~4 h, 薄层

层析 [TLC, 展开剂 *V*(乙酸乙酯): *V*(石油醚)=2:1] 监测至原料反应完全。将反应液旋转蒸发脱去溶剂, 用 4 倍质量的 *V*(乙醇): *V*(水)=5:1 混合溶剂重结晶, 得到白色晶体 12.4 g, 收率 85%。熔点 98~101 °C (文献值<sup>[9]</sup> 97~101 °C)。

1.2.4 3-氯-1-(2-吡啶基)-吡唑-4-基乙酸(4) 的合成 在 50 mL 圆底烧瓶中加入 5.86 g 化合物 3 (0.02 mol), 用少量乙醇溶解后, 加入 30% 的氢氧化钠水溶液 7.2 mL, 再加水 40 mL, 在 60 °C 水浴中反应 3 h, TLC [(展开剂 *V*(乙酸乙酯): *V*(石油醚)=2:1)] 监测至反应结束。冷却至室温后, 在冰浴条件下用盐酸调节 pH 值为 1~2。抽滤, 固体用冰水洗涤, 烘干, 得到白色粉末 4.73 g, 收率 89%。熔点 169~171 °C (文献值<sup>[9]</sup> 170~172 °C)。

1.2.5 5-取代-1,3,4-噻二唑-2-胺(5) 的合成通法 参考文献[10]方法由氨基硫脲与羧酸反应合成。以 5-1 的合成为例: 向 50 mL 三口烧瓶中, 依次加入 0.91 g (10 mmol) 氨基硫脲、3.72 g (15 mmol) 2-碘苯甲酸和 12 mL 浓盐酸, 回流反应 3 h。冷却至室温, 用 30% 氢氧化钠溶液调节 pH 值至 8~9, 用冰水冷却, 有大量白色固体析出。抽滤, 水洗, 干燥。用 3 倍质量的 *V*(乙醇): *V*(水)=2:1 重结晶, 得到浅黄绿色晶体。化合物 5 的理化数据见表 1。

1.2.6 目标化合物 B(6) 的合成通法 在 50 mL 单口烧瓶中, 分别加入 1 mmol 化合物 4、10 mL 二氯甲烷、1.2 mmol 化合物 5 和 1.7 mmol 三乙胺, 加入适量 *N,N*-二甲基甲酰胺(DMF) 使化合物 5 溶

表 1 5-取代-1,3,4-噻二唑-2-胺的理化数据

Table 1 The physicochemical data of 5-substituted-1,3,4-thiadiazol-2-amine

| 编号<br>Number | R                                                                   | 外观<br>Appearance                    | 实测值(文献值)<br>m.p.(Ref.)/°C                     |
|--------------|---------------------------------------------------------------------|-------------------------------------|-----------------------------------------------|
| 5-1          | 2-I-C <sub>6</sub> H <sub>4</sub>                                   | 浅黄绿色晶体<br>Pale yellow green crystal | 216.1~217.7<br>(207~210 <sup>[11]</sup> )     |
| 5-2          | 2-CF <sub>3</sub> -C <sub>6</sub> H <sub>4</sub>                    | 白色晶体<br>White crystal               | 155.5~156.9<br>(153~156 <sup>[11]</sup> )     |
| 5-3          | 4-NO <sub>2</sub> -C <sub>6</sub> H <sub>4</sub>                    | 橘黄色晶体<br>Orange crystal             | 256.1~256.8<br>(258.1~258.8 <sup>[12]</sup> ) |
| 5-4          | 2,4,5-3F-C <sub>6</sub> H <sub>2</sub>                              | 黄色晶体<br>Yellow crystal              | 177.6~179.8<br>(176~177 <sup>[11]</sup> )     |
| 5-5          | C <sub>6</sub> H <sub>5</sub> OCH <sub>2</sub> -                    | 米白色晶体<br>Rice white crystal         | 208.6~209.9<br>(208~209 <sup>[13]</sup> )     |
| 5-6          | 4-CH <sub>3</sub> -C <sub>6</sub> H <sub>3</sub> OCH <sub>2</sub> - | 米黄色晶体<br>Rice yellow crystal        | 208.3~213.2<br>(208.3~209.3 <sup>[13]</sup> ) |
| 5-7          | 5-F-2,4-2Cl-C <sub>6</sub> H <sub>2</sub>                           | 浅黄色晶体<br>Pale yellow crystal        | 203.5~205.1<br>(198~199 <sup>[14]</sup> )     |
| 5-8          | C <sub>6</sub> H <sub>5</sub>                                       | 浅黄色晶体<br>Pale yellow crystal        | 213.1~214.3<br>(213~214 <sup>[15]</sup> )     |
| 5-9          | CH <sub>3</sub> CH <sub>2</sub>                                     | 白色晶体<br>White crystal               | 189.8~190.1<br>(189~191 <sup>[16]</sup> )     |

解，在冰浴下加入 1.2 mmol 1-乙基-(3-二甲基氨基丙基) 碳二亚胺盐酸盐 (EDC)，0 °C 下反应 3~4 h 后继续在室温下搅拌过夜。TLC [(展开剂 V(石油醚) : V(乙酸乙酯) = 3:1] 监测至原料反应完全。依次用 10 mL 乙酸乙酯和 5 mL 水萃取 2~3 次，有机相用浓盐酸调节 pH 值至 5~6，用清水洗涤 2~3 次。有机相依次用饱和碳酸氢钠溶液和饱和食盐水洗涤，无水硫酸钠脱水，过滤，得到黄绿色澄清滤液，浓缩得到粗产物，用乙酸乙酯重结晶，得到固体 (B)。

### 1.3 除草活性测试方法

委托国家南方农药创制中心浙江基地参照文献[17]方法进行。以含 1% 吐温-80 的 DMF 为溶剂，将供试化合物配成质量浓度为 0.01~

0.05 g/mL 的母液，再用蒸馏水稀释至所需浓度，备用。以 5% 异丙酯草醚 (pyribambenz isopropyl) 乳油 (浙江省化工研究院有限公司提供) 为对照药剂，以喷施同等液量清水为空白对照。

供试靶标为马唐 *Digitaria sanguinalis* Scop.、稗草 *Echinochloa crusgalli* Beauv.、狗尾草 *Setaria viridis* Beauv.、苘麻 *Abutilon theophrasti* Medicus、凹头苋 *Amaranthus lividus* L. 和反枝苋 *Amaranthus retroflexus*，均由浙江省化工研究院有限公司提供。温室盆栽分别采用茎叶法和土壤法处理：取内径为 7.5 cm 的花盆，装复合土 [V(菜园土) : V(育苗基质) = 1:2] 至 3/4 处，播种杂草靶标(发芽率 ≥ 85%)，覆土约 0.2 cm，待杂草长至 3 叶期左右时备用。苗前土壤封闭处理于处理前 24 h 种植。采用自动喷雾塔施药，有效施药剂量为 150 g/hm<sup>2</sup>。待叶面药液晾干后移入温室培养(温度 28 °C，照度 3 000 lx，光照时间为 16 h 光照/8 h 黑暗，相对湿度 75%)，15 d 后调查杂草株防效(%)。

## 2 结果与讨论

### 2.1 化合物合成

合成目标化合物时，由于化合物 4 的结构不稳定，因而反应温度不能过高。按照文献[12]中报道的以甲苯为溶剂，尽管反应很快，但副产物较多，后处理麻烦，且收率过低；而以二氯甲烷为溶剂，0 °C 下反应温和，很好地控制了副产物的产生。

化合物 5 是由相应的酸和氨基硫脲在酸性条件下发生关环反应得到的，反应中常需用到浓硫酸、三氯氧磷和浓盐酸等环合试剂。需要指出的是，该反应的 pH 值需保持在 8~9，过高会使胺在碱性条件下开环，过低则会影响产物胺的析出，导致收率降低。

表 2 目标化合物 B1~B9 的理化性质及质谱数据

Table 2 The analytical data and MS of the title compounds B1~B9

| 化合物<br>Compound | R                                                                   | 产率<br>Yield/% | 熔点<br>m.p./°C | 质谱<br>ESI-MS                                   |
|-----------------|---------------------------------------------------------------------|---------------|---------------|------------------------------------------------|
| B1              | 2-I-C <sub>6</sub> H <sub>4</sub>                                   | 78            | 189~192       | 551[M+H] <sup>+</sup>                          |
| B2              | 2-CF <sub>3</sub> -C <sub>6</sub> H <sub>4</sub>                    | 73            | 163~166       | 493[M+H] <sup>+</sup> , 515[M+Na] <sup>+</sup> |
| B3              | 4-NO <sub>2</sub> -C <sub>6</sub> H <sub>4</sub>                    | 68            | 135~138       | 470[M+H] <sup>+</sup>                          |
| B4              | 2,4,5-3F-C <sub>6</sub> H <sub>2</sub>                              | 73            | 181~184       | 479[M+H] <sup>+</sup>                          |
| B5              | C <sub>6</sub> H <sub>5</sub> OCH <sub>2</sub> -                    | 70            | 198~201       | 455[M+H] <sup>+</sup> , 477[M+Na] <sup>+</sup> |
| B6              | 4-CH <sub>3</sub> -C <sub>6</sub> H <sub>3</sub> OCH <sub>2</sub> - | 78            | 206~209       | 491[M+Na] <sup>+</sup>                         |
| B7              | 5-F-2,4-2Cl-C <sub>6</sub> H <sub>2</sub>                           | 78            | 159~163       | 511[M-H] <sup>-</sup>                          |
| B8              | C <sub>6</sub> H <sub>5</sub>                                       | 75            | 191~194       | 425[M+H] <sup>+</sup> , 447[M+Na] <sup>+</sup> |
| B9              | CH <sub>3</sub> CH <sub>2</sub>                                     | 78            | 177~180       | 377[M+H] <sup>+</sup> , 399[M+Na] <sup>+</sup> |

## 2.2 目标化合物图谱解析

目标化合物的理化性质及质谱数据见表 2, 核磁共振氢谱数据见表 3。

### 3 除草活性测试

结果(表4)表明:在150 g/hm<sup>2</sup>的处理剂量

下，部分目标化合物对供试杂草表现出较好的除草活性。如在土壤处理条件下，化合物 **B2**、**B3**、**B4**、**B6** 和 **B8** 对反枝苋和凹头苋的抑制率均达到了 100%，与对照药剂异丙酯草醚相当；在茎叶处理条件下，化合物 **B2**、**B7** 和 **B9** 对苘麻、反枝苋和凹头苋的抑制率分别为 100%、95% 和 100%；

表 3 目标化合物 B1~B9 的核磁共振氢谱数据

Table 3 The  $^1\text{H}$  NMR of the title compounds **B1-B9**

| 化合物<br>Compound | <sup>1</sup> H NMR (500 MHz, DMSO- <i>d</i> <sub>6</sub> ), δ                                                                                                                                                                                                                                                                                                                                                                                            |
|-----------------|----------------------------------------------------------------------------------------------------------------------------------------------------------------------------------------------------------------------------------------------------------------------------------------------------------------------------------------------------------------------------------------------------------------------------------------------------------|
| <b>B1</b>       | 13.07 (s, 1H, NH), 8.56 (dd, <i>J</i> = 4.7, 1.6 Hz, 1H, Py-H), 8.30~8.26 (m, 1H, Ph-H), 8.23(dd, <i>J</i> = 8.1, 1.6 Hz, 1H, Py-H), 7.79~7.86 (d, <i>J</i> = 6.7 Hz, 2H, Ph-H), 7.61 (dd, <i>J</i> = 8.1, 4.7 Hz, 2H, Py-H), 3.74 (s, 2H, O=C-CH <sub>2</sub> -), 2.19 (s, 3H, -CH <sub>3</sub> ), 2.13 (s, 3H, -CH <sub>3</sub> )                                                                                                                      |
| <b>B2</b>       | 10.58 (s, 1H, NH), 8.56 (dd, <i>J</i> = 4.7, 1.6 Hz, 1H, Py-H), 8.23 (dd, <i>J</i> = 8.1, 1.6 Hz, 1H, Py-H), 7.87 (t, <i>J</i> = 2.0 Hz, 1H, Ph-H), 7.60 (dd, <i>J</i> = 8.0, 4.7 Hz, 1H, Py-H), 7.53~7.51 (ddd, <i>J</i> = 8.2, 2.1, 1.0 Hz, 1H, Ph-H), 7.34 (t, <i>J</i> = 8.1 Hz, 1H, Ph-H), 7.10 (ddd, <i>J</i> = 8.0, 2.2, 0.9 Hz, 1H, Ph-H), 3.54 (s, 2H, O=C-CH <sub>2</sub> -), 2.19 (s, 3H, -CH <sub>3</sub> ), 2.13 (s, 3H, -CH <sub>3</sub> ) |
| <b>B3</b>       | 10.24 (s, 1H, NH), 8.56 (dd, <i>J</i> = 4.7, 1.6 Hz, 1H, Py-H), 8.23 (dd, <i>J</i> = 8.1, 1.6 Hz, 1H, Py-H), 7.65~7.62(m, 2H, Ph-H), 7.60 (dd, <i>J</i> = 8.1, 4.7 Hz, 1H, Py-H), 7.15 (t, <i>J</i> = 8.9 Hz, 2H, Ph-H), 3.49 (s, 2H, O=C-CH <sub>2</sub> -), 2.19 (s, 3H, -CH <sub>3</sub> ), 2.13 (s, 3H, -CH <sub>3</sub> )                                                                                                                           |
| <b>B4</b>       | 13.09 (s, 1H, NH), 8.56 (dd, <i>J</i> = 4.7, 1.6 Hz, 1H, Py-H), 8.24 (dd, <i>J</i> = 8.1, 1.6 Hz, 1H, Py-H), 8.11 (d, <i>J</i> = 6.8 Hz, 1H, Ph-H), 8.06 (d, <i>J</i> = 10.2 Hz, 1H, Ph-H), 7.61~7.66(m, 1H, Py-H), 3.75 (s, 2H, O=C-CH <sub>2</sub> -), 2.19 (s, 3H, -CH <sub>3</sub> ), 2.13 (s, 3H, -CH <sub>3</sub> )                                                                                                                                |
| <b>B5</b>       | 12.83 (s, 1H, NH), 8.55 (dd, <i>J</i> = 4.7, 1.6 Hz, 1H, Py-H), 8.22 (dd, <i>J</i> = 8.0, 1.6 Hz, 1H, Py-H), 7.60 (dd, <i>J</i> = 8.1, 4.7 Hz, 1H, Py-H), 7.34~7.29 (m, 2H, Ph-H), 7.07~7.04 (m, 2H, Ph-H), 6.99 (tt, <i>J</i> = 7.3, 1.1 Hz, 1H, Ph-H), 5.49 (s, 2H O-CH <sub>2</sub> -Ph), 3.68 (s, 2H, O=C-CH <sub>2</sub> -), 2.15 (s, 3H, -CH <sub>3</sub> ), 2.10 (s, 3H, -CH <sub>3</sub> )                                                       |
| <b>B6</b>       | 12.81 (s, 1H, NH), 8.55 (dd, <i>J</i> = 4.7, 1.6 Hz, 1H, Py-H), 8.22 (dd, <i>J</i> = 8.0, 1.6 Hz, 1H, Py-H), 7.60 (dd, <i>J</i> = 8.0, 4.7 Hz, 1H, Py-H), 7.12~7.09 (m, 2H, Ph-H), 6.96~6.92 (m, 2H, Ph-H), 5.45 (s, 2H O-CH <sub>2</sub> -Ph), 3.68 (s, 2H, O=C-CH <sub>2</sub> -), 2.23 (s, 3H, Ph-CH <sub>3</sub> ), 2.15 (s, 3H, -CH <sub>3</sub> ), 2.09 (s, 3H, -CH <sub>3</sub> )                                                                 |
| <b>B7</b>       | 13.08 (s, 1H, NH), 8.56 (dd, <i>J</i> = 4.7, 1.6 Hz, 1H, Py-H), 8.24 (dd, <i>J</i> = 8.1, 1.6 Hz, 1H, Py-H), 8.11 (d, <i>J</i> = 6.8 Hz, 1H, Ph-H), 8.06 (d, <i>J</i> = 10.2 Hz, 1H, Ph-H), 7.60 (d, <i>J</i> = 4.7 Hz, 1H, Py-H), 3.75 (s, 2H, O=C-CH <sub>2</sub> -), 2.19 (s, 3H, -CH <sub>3</sub> ), 2.13 (s, 3H, -CH <sub>3</sub> )                                                                                                                 |
| <b>B8</b>       | 12.92 (s, 1H, NH), 8.56 (dd, <i>J</i> = 4.7, 1.6 Hz, 1H, Py-H), 8.24 (dd, <i>J</i> = 8.1, 1.6 Hz, 1H, Py-H), 7.96~7.92 (m, 2H, Ph-H), 7.61 (dd, <i>J</i> = 8.1, 4.7 Hz, 1H, Py-H), 7.55~7.53 (m, 1H, Ph-H), 7.53 (d, <i>J</i> = 2.1 Hz, 2H, Ph-H), 3.73 (s, 2H, O=C-CH <sub>2</sub> -), 2.19 (s, 3H, -CH <sub>3</sub> ), 2.14 (s, 3H, -CH <sub>3</sub> )                                                                                                 |
| <b>B9</b>       | 12.64 (s, 1H, NH), 8.56 (dd, <i>J</i> = 4.7, 1.6 Hz, 1H, Py-H), 8.23 (dd, <i>J</i> = 8.1, 1.6 Hz, 1H, Py-H), 7.61 (dd, <i>J</i> = 8.1, 4.7 Hz, 1H, Py-H), 3.66 (s, 2H, O=C-CH <sub>2</sub> -), 2.99 (q, <i>J</i> = 7.5 Hz, 2H, -CH <sub>2</sub> -), 2.16 (s, 3H, -CH <sub>3</sub> ), 2.11 (s, 3H, -CH <sub>3</sub> ), 1.29 (t, <i>J</i> = 7.5 Hz, 3H, -CH <sub>3</sub> )                                                                                 |

表4 目标化合物除草活性测试结果(抑制率/%) (测试浓度: 150 g/hm<sup>2</sup>)

Table 4 The herbicidal activity of the title compounds (Inhibition rate/%) (Test concentration: 150 g/hm<sup>2</sup>)

化合物**B6**和**B8**对苘麻、反枝苋和凹头苋也表现出较高的抑制活性。

## 参考文献(Reference):

- [1] 张进, 肖国民. 含氮杂环化合物的研究进展[J]. 石油化工, 2011, 40(6): 579-584.  
ZHANG J, XIAO G M. Study progress in nitrogenous heterocyclic compounds[J]. Petchem Technol, 2011, 40(6): 579-584.
- [2] ZHAI Z W, YANG M Y, SUN Z H, et al. Facile and efficient synthesis of novel 1, 2, 3-thiadiazole derivatives using microwave irradiation[J]. J Chem Res, 2015, 39(6): 2828-2833.
- [3] MU J X, SHI Y X, YANG M Y, et al. Design, synthesis, DFT study and antifungal activity of pyrazolecarboxamide derivatives[J]. Molecules, 2016, 21(1): 68.
- [4] 柴宝山, 林丹, 刘远雄, 等. 新型邻甲酰氨基苯甲酰胺类杀虫剂的研究进展[J]. 农药, 2007, 46(3): 148-153.  
CHAI B S, LIN D, LIU Y X, et al. Recent advance on novel insecticidal anthranilic diamides[J]. Agrochemicals, 2007, 46(3): 148-153.
- [5] 张广才, 雷树祥, 谭成侠. 1-吡唑酰基-2-烷氧基脒基肼类化合物的合成及其生物活性[J]. 合成化学, 2006, 14(5): 458-462.  
ZHANG G C, LEI S X, TAN C X. Synthesis of 1-pyrazol-5'-ylcarbonyl-2-(alkyloxycarbonyl) hydrazides and their biological activities[J]. Chin J Synth Chem, 2006, 14(5): 458-462.
- [6] LIU X H, SHI Y X, MA Y, et al. Synthesis of some *N*, *N'*-diacylhydrazine derivatives with radical-scavenging and antifungal activity[J]. Chem Biol Drug Des, 2009, 73(3): 320-327.
- [7] LASH T D, LAMM T R, SCHABER J A, et al. Normal and abnormal heme biosynthesis. Part 7. Synthesis and metabolism of coproporphyrinogen-III analogues with acetate or butyrate side chains on rings C and D. Development of a modified model for the active site of coproporphyrinogen oxidase[J]. Bioorg Med Chem, 2011, 19(4): 1492-1504.
- [8] 郑毅, 王俊芳, 张应鹏, 等. 新型3-氯-1-(3-氯-2-吡啶)-1*H*-吡唑甲酰胺类化合物的合成[J]. 合成化学, 2010, 18(3): 341-344.  
ZHENG Y, WANG J F, ZHANG Y P, et al. Synthesis of novel 3-bromine-1-(3-chloride-2-pyridine)-1*H*-pyrazolecarboxamide[J]. Chin J Synth Chem, 2010, 18(3): 341-344.
- [9] USHIO H, HAMADA M, WATANABE M, et al. Preparation of heterocycle amide derivatives as inhibitors for production of cytokines: WO 2012050159[P]. 2012-04-19.
- [10] ZHENG K B, HE J, ZHANG J. Synthesis and antitumor activity of N'-acetyl-amino-(5-alkyl/aryl-1,3,4-thiadiazole-2-yl)-5-fluorouracil derivatives[J]. Chin Chem Lett, 2008, 19(11): 1281-1284.
- [11] SUN Z H, HUANG W, GONG Y Y, et al. Synthesis and herbicidal activity of new 1, 3, 4-thiadizols sulfourea derivative[J]. Chin J Org Chem, 2013, 33(12): 2612-2617.
- [12] AMIT C, PAYAL C, BAGHEL U S, et al. Synthesis, cytotoxic evaluation, Docking and QSAR study of *N*-(4-oxo-2-(4-((5-aryl-1,3,4-thiadiazol-2-yl)amino)phenyl) thiazolidin-3-yl) benzamides as antitubulin agents. [J]. Curr Top Med Chem., 2016, 16(22): 2509-2520.
- [13] JOSHI S D, MORE U A, KOLI D, et al. Synthesis, evaluation and in silico, molecular modeling of pyrrolyl-1, 3, 4-thiadiazole inhibitors of InhA[J]. Bioorg Chem, 2015, 59: 151-167.
- [14] 谭成侠, 吴克崇, 吴贯中. 一种取代的吡唑乙酰胺类化合物及其制备方法和应用: CN105924435A[P]. 2016-09-07.  
TAN C X, WU K C, WU G Z. Preparation of substituted pyrazoleacetamide derivatives with insecticidal, bactericidal and herbicidal activities: CN105924435A[P]. 2016-09-07.
- [15] KULSHRESHTHA A, PIPLANI P. Ameliorative effects of amide derivatives of 1, 3, 4-thiadiazoles on scopolamine induced cognitive dysfunction[J]. Eur J Med Chem, 2016, 122: 557-573.
- [16] LIU Y T, LIANG G T, YIN D W. Synthesis and antimicrobial activity of novel mancozeb derivatives containing 1, 3, 4-thiadiazole[J]. Res Chem Int, 2015, 41(4): 2019-2024.
- [17] 农药室内生物测定试验准则 植物生长调节剂第1部分: 促进/抑制种子萌发试验浸种法: NY/T 2061.1—2011[S]. 北京: 中国农业出版社, 2011.  
Rules for evaluation of pepper for resistance to diseases-Part 1: Rule for evaluation of pepper for resistance to phytophthora blight: NY/T2061.1—2011[S]. Beijing: China Agriculture Press, 2011.

(责任编辑: 金淑惠)